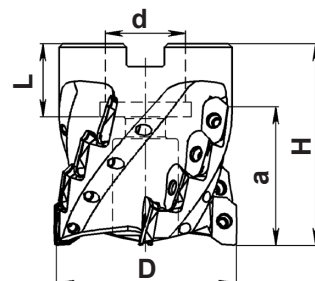


MT290L...BD12

Насадные торцово-цилиндрические фрезы с внутренним подводом СОЖ



*Новое поколение фрез с крутой спиралью и полным перекрытием СМП.
 *Эффективное черновое фрезерование пазов (крупный шаг) и периферийное фрезерование (мелкий шаг).
 *При фрезеровании глубоких пазов необходима непрерывная подача в зону резания сжатого воздуха или СОЖ под давлением для вывода стружки.
 *Получение поверхности без строчек.
 *Стандартные радиуса пластины 0,8; 3,0; 4,0 мм.
 *Начиная с R=3 мм необходима доработка корпуса.



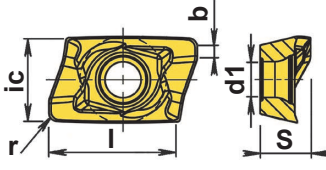
Обозначение	Размеры, мм					Z	V _{max} RPM	 кг		 Кол.			
	D	a	L	H	d								

MT290L...BD12...IK

Обозначение	D	a	L	H	d	Z	V _{max} RPM	Вес кг	Материал пластины	Кол. СОЖ	Средство удаления стружки	Момент сжатия
MT290L-040A16R03BD12-31-1K	40	31	19	55	16	3	14000	0,3	BDMT1204...	9	T300755-09AP	7009-TP 2,2 Nm
MT290L-040A16R03BD12-41-1K	40	41	19	65	16	3	14000	0,3		12		
MT290L-050A22R04BD12-41-1K	50	41	20	65	22	4	12500	0,5		16		
MT290L-050A22R04BD12-51-1K	50	51	20	75	22	4	12500	0,6		20		
MT290L-063A27R05BD12-41-1K	63	41	22	70	27	5	11500	1,0		20		
MT290L-063A27R05BD12-51-1K	63	51	22	80	27	5	11500	1,0		25		
MT290L-080A32R06BD12-51-1K	80	51	25	85	32	6	10500	2,1		30		
MT290L-080A32R06BD12-61-1K	80	61	25	95	32	6	10500	2,4		36		

Возможно исполнение всех фрез без каналов для подачи СОЖ.

Пластины, имеющие радиус более 0,8 мм, устанавливаются только на торце фрезы

	Марка твердого сплава												Основные размеры												
	P				M				K		S		H		ic	l	s	d1	r	b					
	HCP25X	HCP30X	HCP35N	HCM35X	HCM25X	HCM35X	HCP35N	HCS25X	HCP25X	HCP	HCM25X	HCS25X	HCS30X												
	●	●	○	○	●	●	○	○	○	○	○	●	●												
мм																									
BDMT120408SR	●	●	○	○	●	●	○		○	○	○									8,16	12,0	4,76	3,4	0,8	1,2
BDMT120408ER							○		○	○	●	●								8,16	12,0	4,76	3,4	0,8	1,2
BDMT120430SR	●	●	○		●	●			○	○	○	○								8,16	12,0	4,76	3,4	3,0	0,9
BDMT120430ER							○		○	○	●	●								8,16	12,0	4,76	3,4	3,0	0,9
BDMT120440SR	●	●	○		●	●			○	○	○									8,16	12,0	4,76	3,4	4,0	-
BDMT120440ER							○		○	○	●	●								8,16	12,0	4,76	3,4	4,0	-